

Fig. 27. Double  $\beta$ -decay energies

$A = 0$  to 35

s 17 nov 2012  
o0p4gqdq (nov12)  
Borcea-Audi

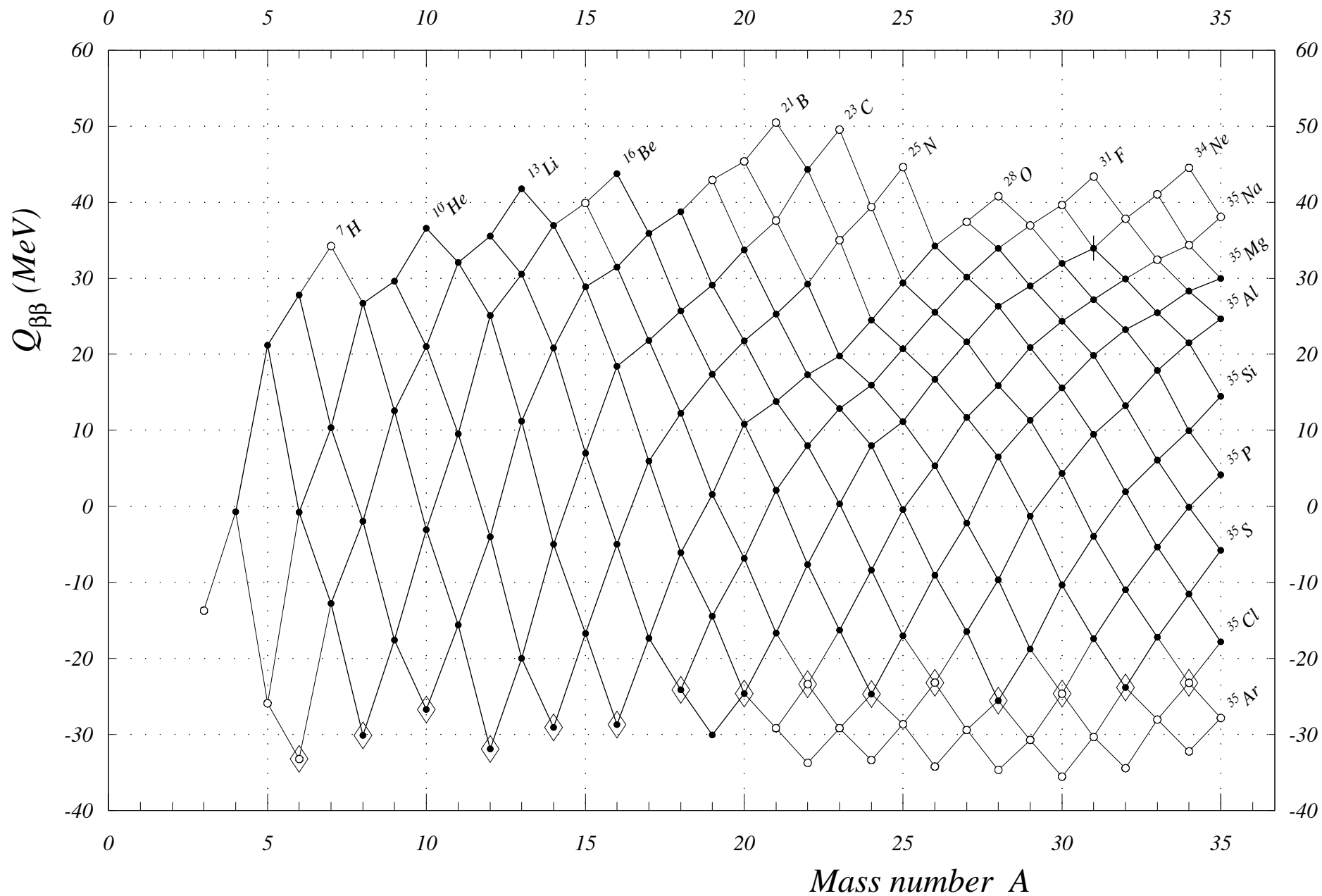


Fig. 28. Double  $\beta$ -decay energies

$A = 32$  to  $65$

s 17 nov 2012  
oP4gqdq (nov12)  
Borcea-Audi

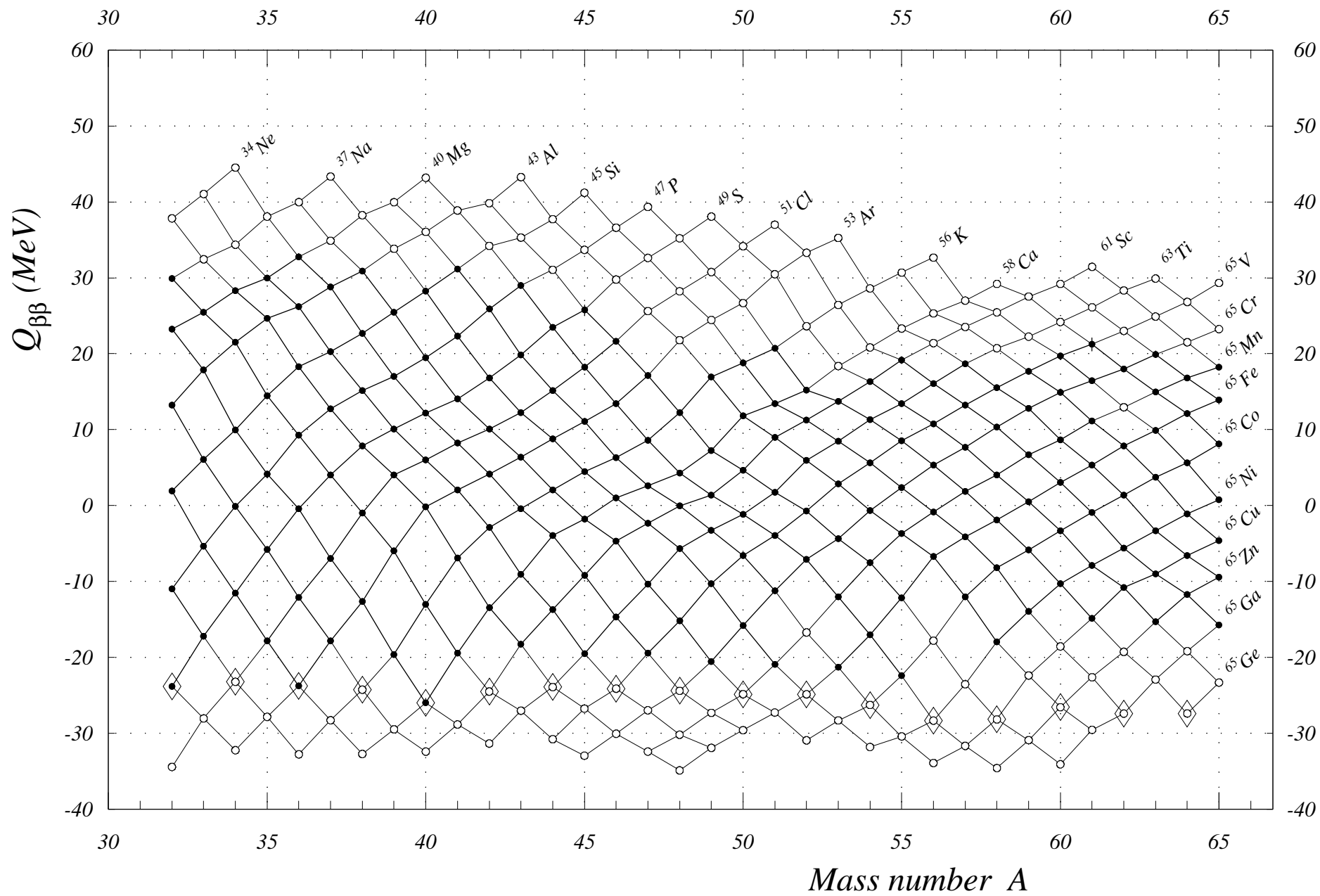


Fig. 29. Double  $\beta$ -decay energies

$A = 62$  to  $95$

s 17 nov 2012  
o0p4gqdq (nov12)  
Borcea-Audi

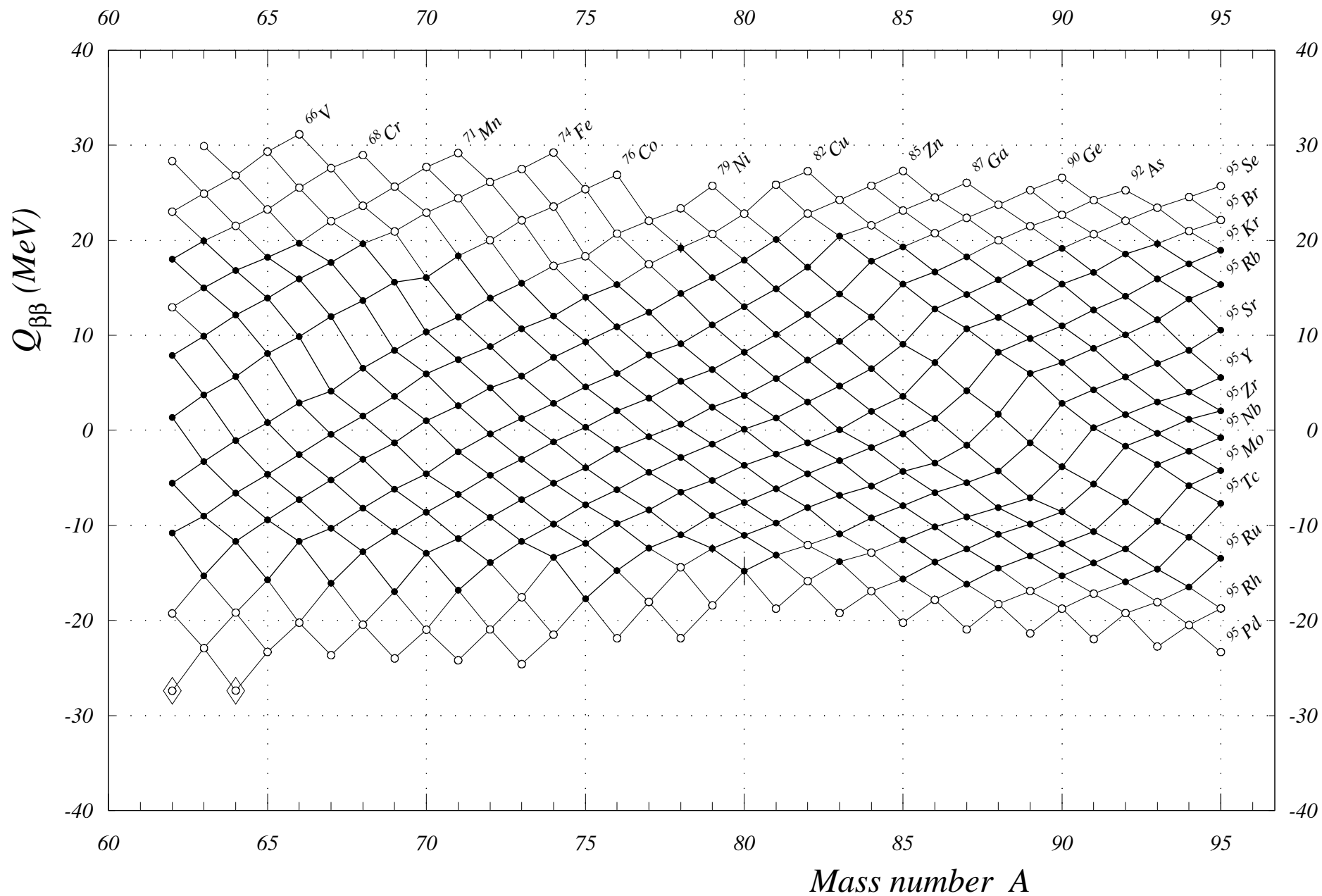


Fig. 30. Double  $\beta$ -decay energies

$A = 92$  to  $125$

s 17 nov 2012  
o0p4gqdq (nov12)  
Borcia-Audi

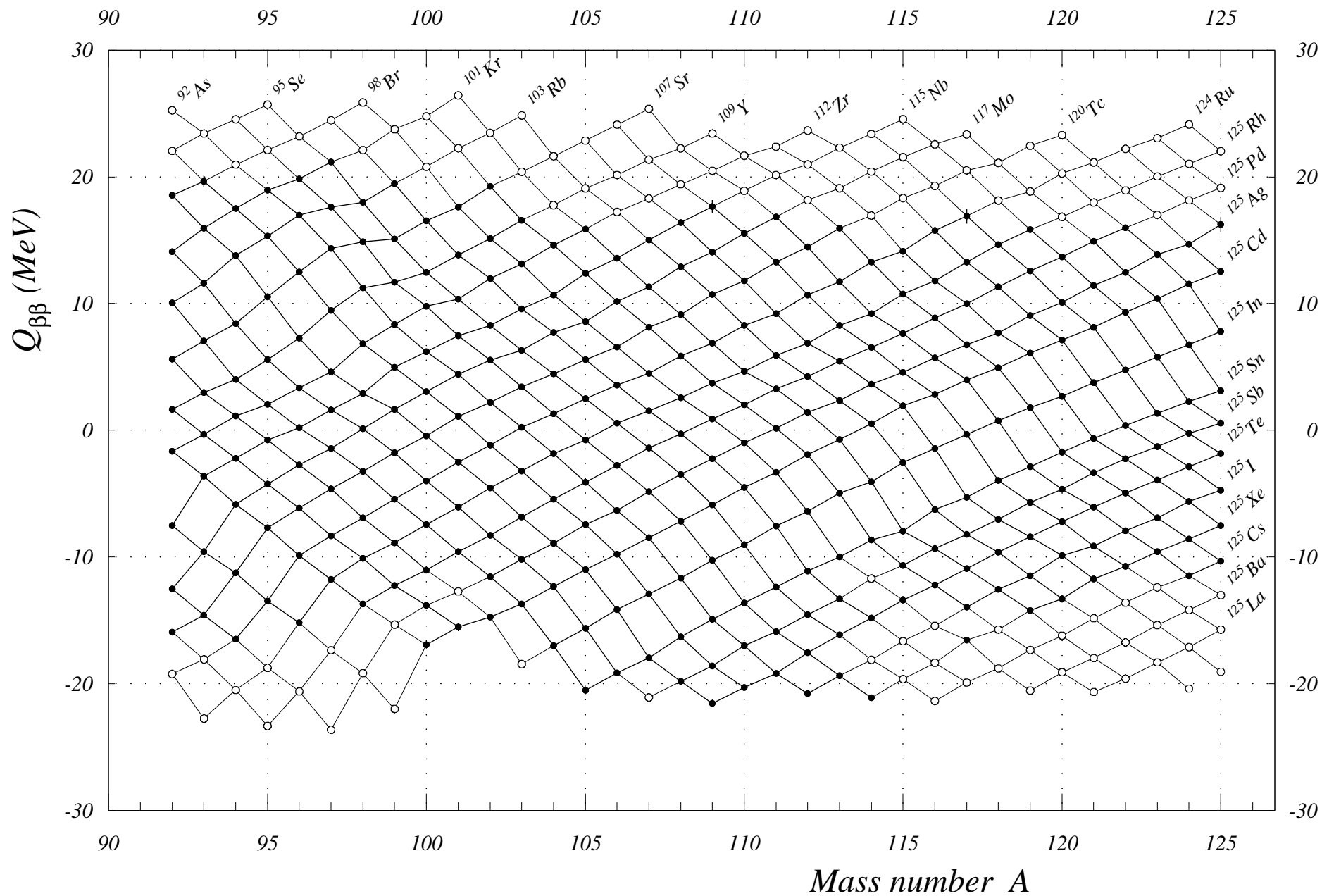


Fig. 31. Double  $\beta$ -decay energies

$A = 122$  to  $155$

s 17 nov 2012  
o0p4gqdq (nov12)  
Borcea-Audi

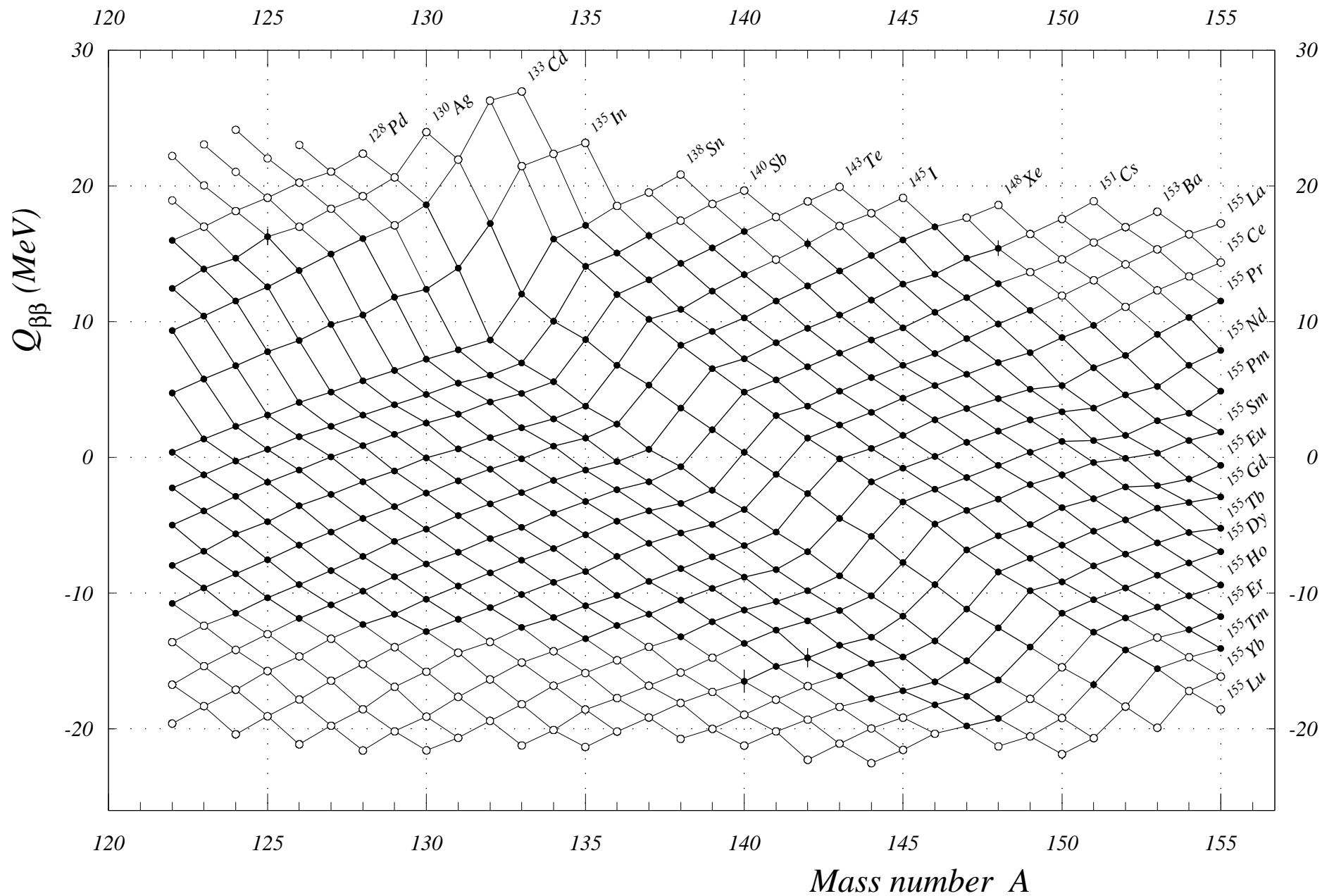


Fig. 32. Double  $\beta$ -decay energies

$A = 152$  to  $185$

s 17 nov 2012  
o0p4gqdq (nov12)  
Borcea-Audi

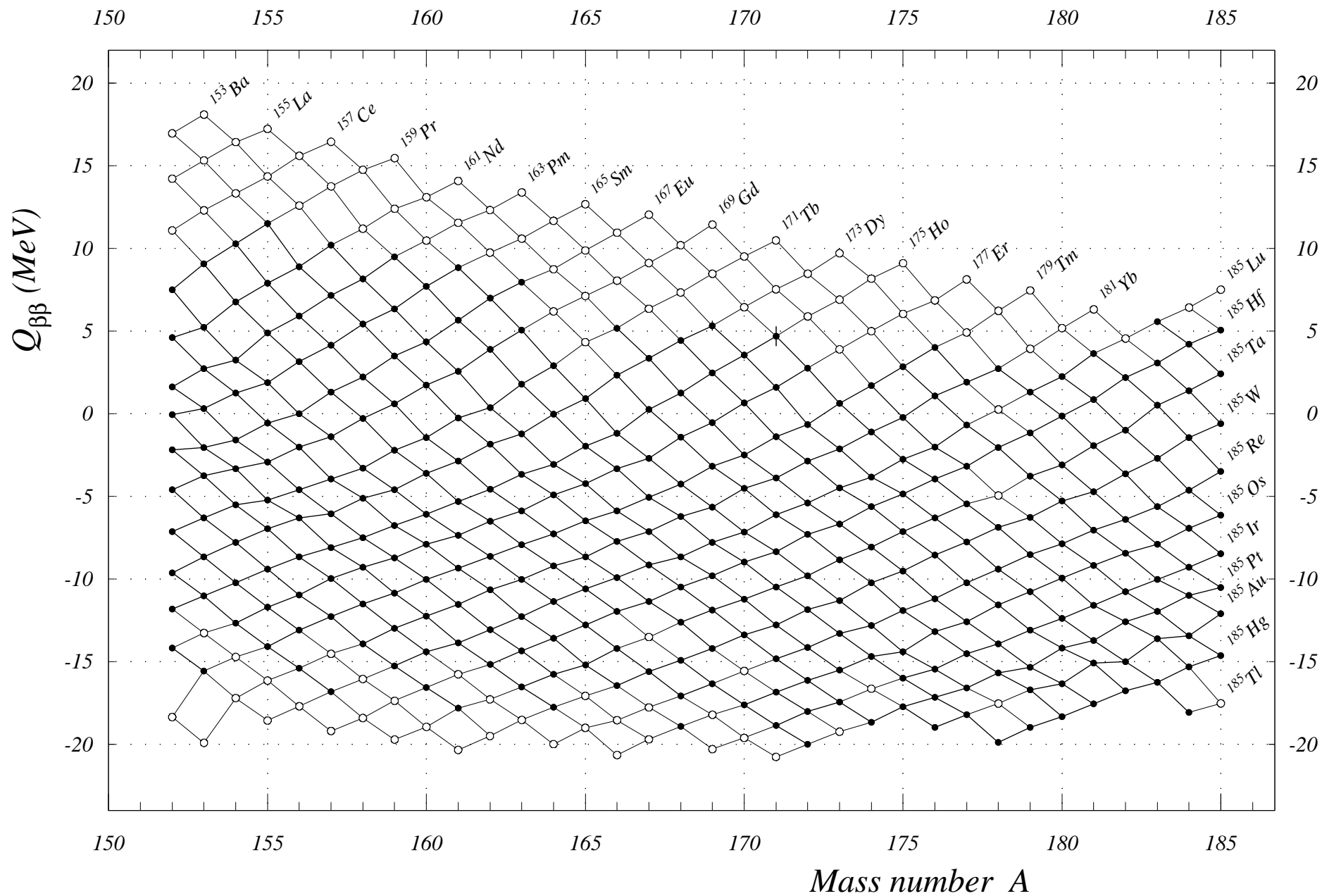
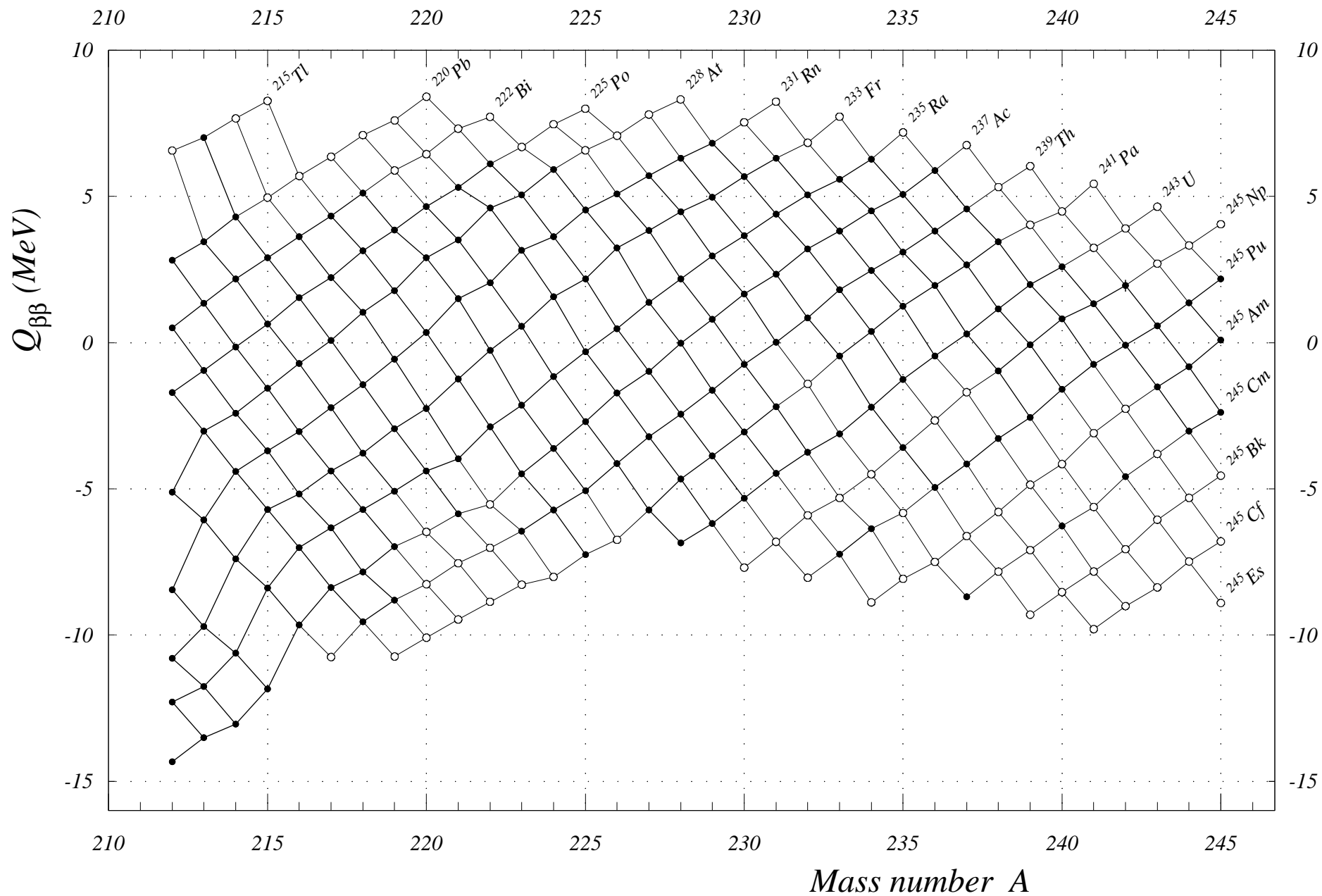




Fig. 34. Double  $\beta$ -decay energies

$A = 212$  to  $245$

s 17 nov 2012  
o0p4gqdq (nov12)  
Borcea-Audi

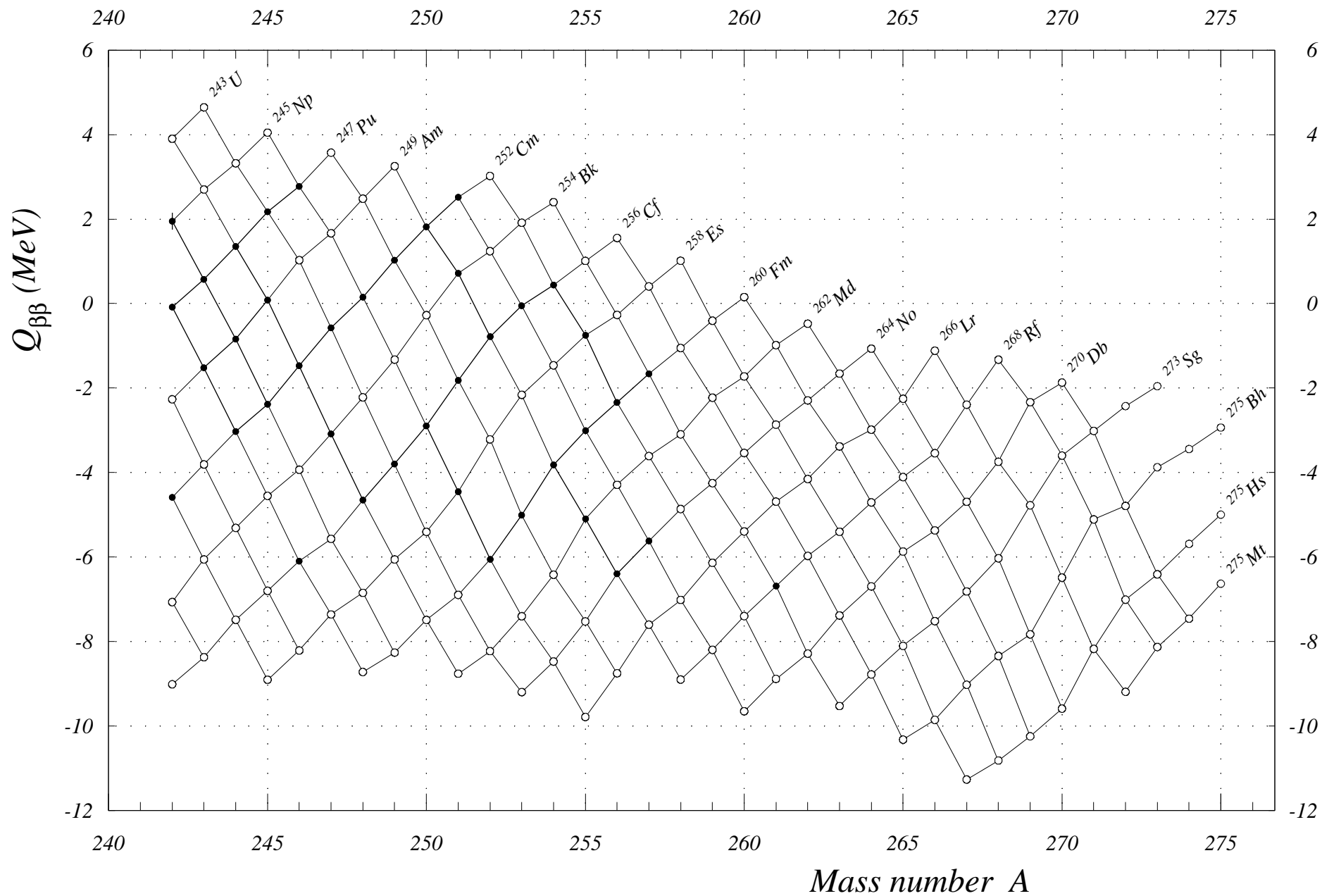




*Fig. 35. Double  $\beta$ -decay energies*

*$A = 242$  to  $275$*

s 17 nov 2012  
o0p4gqdq (nov12)  
Borcea-Audi



*Fig. 36. Double  $\beta$ -decay energies  $A = 257$  to  $290$*

